



LLUVIAS



CENEPRED

Centro Nacional de Estimación, Prevención y
Reducción del Riesgo de Desastres

**ESTUDIO DE ESCENARIO DE RIESGO
ANTE EL PRONÓSTICO DE
LLUVIA EN LA SELVA - SEGUNDO FRIAJE**

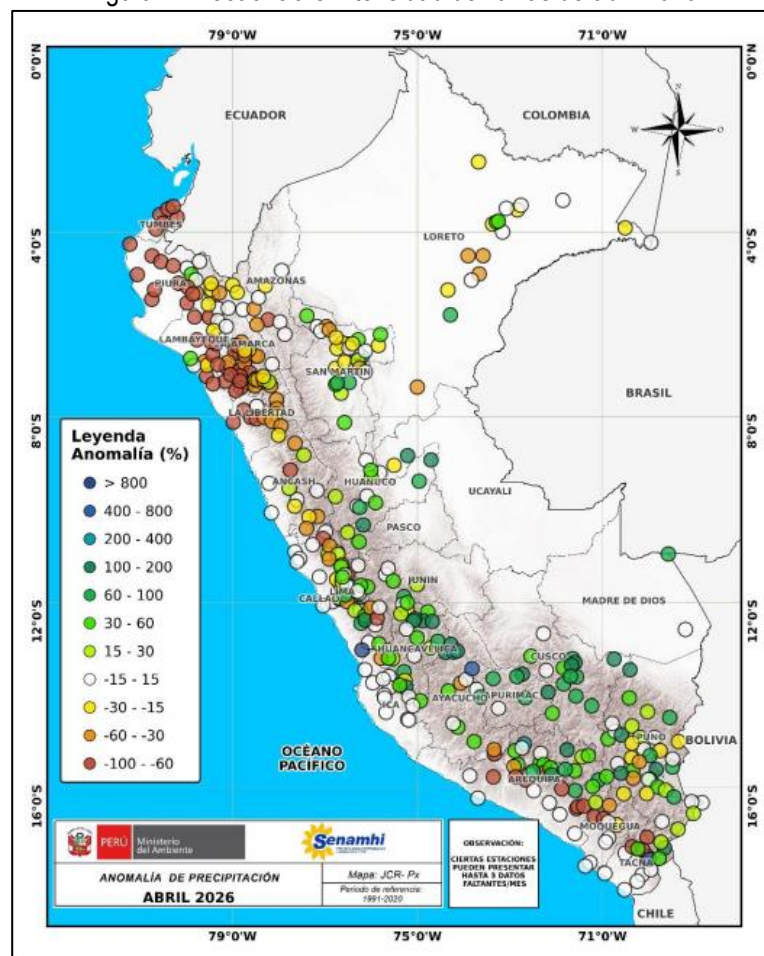
DEL 18 AL 20 MAYO DE 2026

www.cenepred.gob.pe

I. COMPORTAMIENTO DE LAS PRECIPITACIONES A NIVEL NACIONAL

En abril de 2026, los acumulados de precipitación, evidenciaron deficiencias importantes en la costa y sierra norte, con valores entre -100 % y -60 %. También se observaron déficits en las partes altas de Áncash, algunos sectores de Lima, San Martín, Loreto y en las cuencas medias de Arequipa, Moquegua y Tacna, con anomalías principalmente entre -60 % y -30 %. En contraste, el flanco oriental de la sierra central (Huánuco, Pasco, Junín y Huancavelica) y sectores de la sierra sur (Apurímac, Cusco y Puno), presentaron excesos de precipitación, con anomalías entre 100 % y 200 %. Cabe destacar que se registró un récord histórico de precipitación diaria en Colcabamba, Huancavelica, con 71.8 mm/día el 10 de abril, valor superior a su normal mensual de 57.4 mm. Asimismo, se reportaron récords mensuales en otras estaciones, entre las que destacan Alto de Poclus, Piura, con 59.4 mm/día; Chaglla, Huánuco, con 35.5 mm/día; y Granja San Antonio, Apurímac, con 31.6 mm/día. En marzo 2026, se presentaron superávits de lluvias en la zona andina central (Huánuco, Huancavelica, Junín y Pasco) y sur (Apurímac, Arequipa, Puno y Cusco), además de la selva norte (Loreto y San Martín) y algunas regiones como Huánuco y Piura con anomalías superiores a 100%. En contraste, se presentaron anomalías negativas de lluvias, principalmente en la franja costera (Lambayeque, Lima, Ica y Arequipa), zona andina occidental central y sur (Ancash, Arequipa, Tacna y Moquegua

Figura 1: Frecuencia e Intensidad de lluvias de abril 2026.



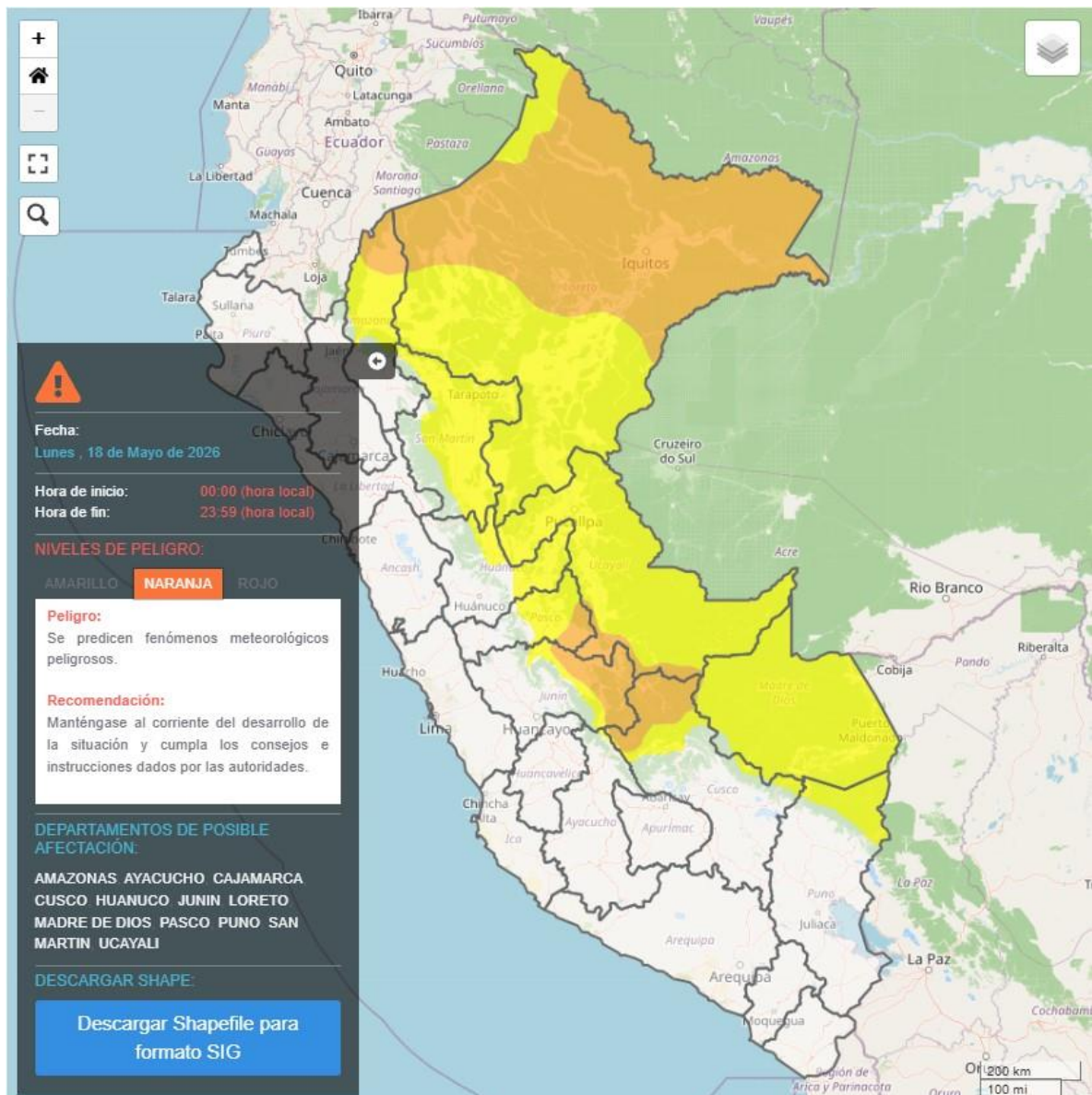
Fuente: SENAMHI (Abril, 2026).

II. PERSPECTIVAS

El SENAMHI informa que, desde el lunes 18 al miércoles 20 de mayo se presentarán lluvias en la selva, de moderada a fuerte intensidad, relacionadas al segundo friaje del año. Estos eventos de lluvia estarán acompañados de descargas eléctricas y ráfagas de viento con velocidades cercanas a 50 km/h.

El lunes 18 de mayo, se prevén acumulados de lluvia alrededor de 55 mm/día en la selva sur, próximos a 70 mm/día en la selva centro y valores de hasta 75 mm/día en la selva norte.

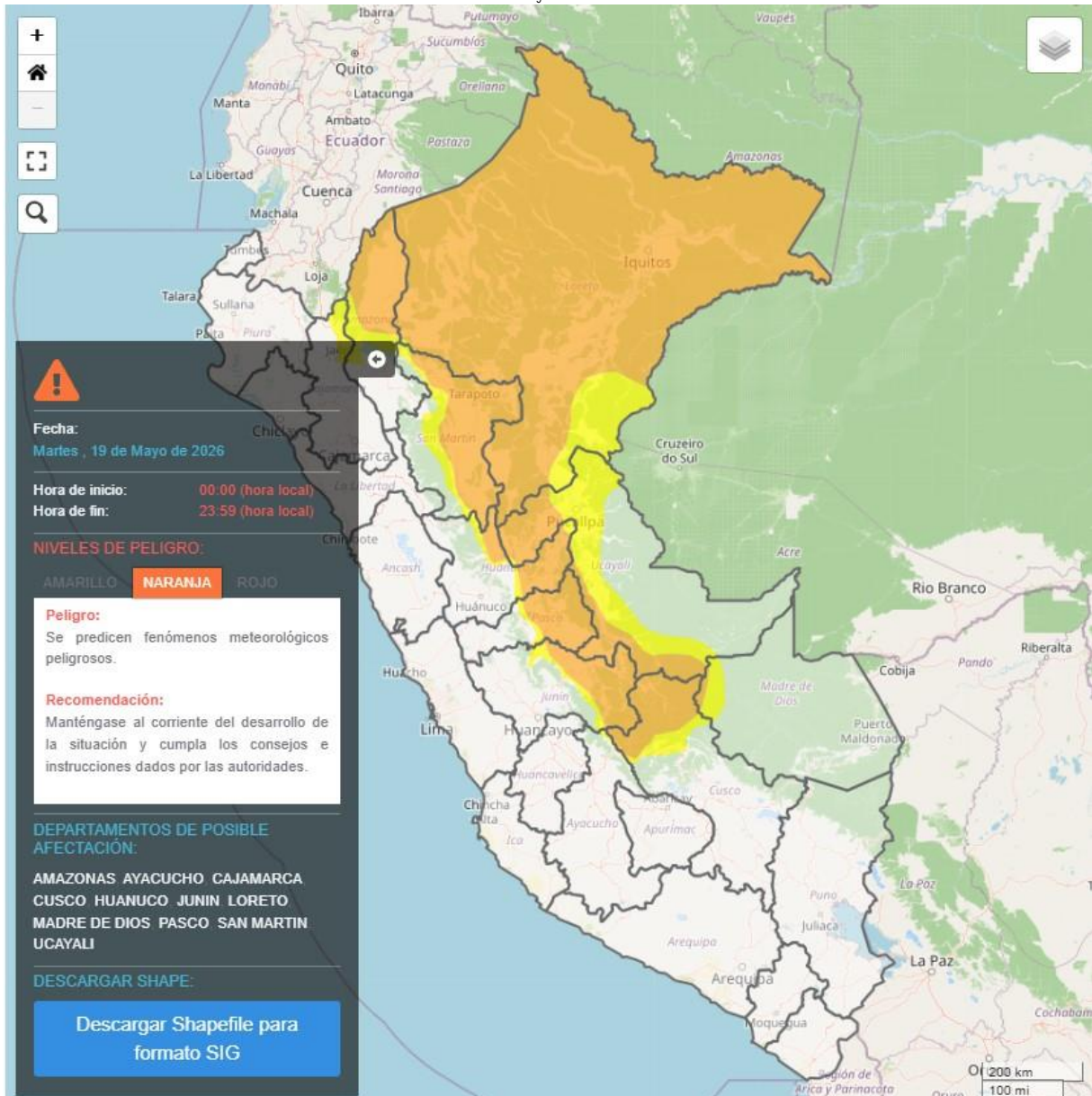
Figura 2. Pronóstico de lluvia en la selva del 18 de mayo del 2026



Fuente: SENAMHI Aviso Meteorológico N°188

El martes 19 de mayo, se prevén acumulados de lluvia alrededor de 50 mm/día en la selva sur, alrededor de 70 mm/día en la selva centro y valores de hasta 75 mm/día en la selva norte

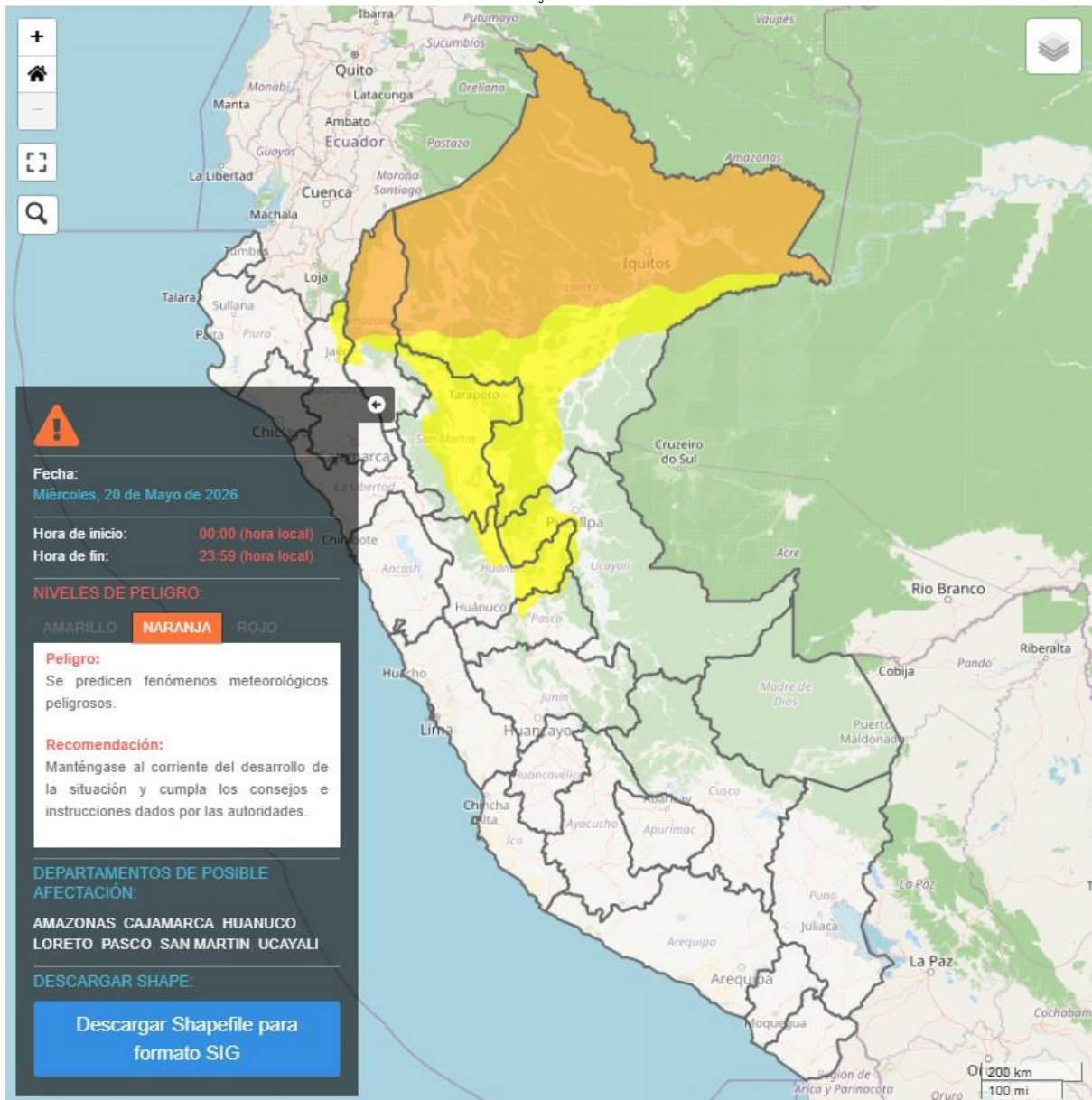
Figura 3. Pronóstico de lluvia en la selva del 19 de mayo del 2026



Fuente: SENAMHI Aviso Meteorológico N° 188

El miércoles 20 de mayo, se prevén acumulados de lluvia alrededor de 65 mm/día en la selva norte y valores cercanos a 55 mm/día en la selva centro.

Figura 4. Pronóstico de lluvia en la selva del 20 de mayo del 2026



Fuente: SENAMHI Aviso Meteorológico N° 188

Para efectos de análisis se ha unido el ámbito de los diferentes días que implica el aviso, obteniendo un solo ámbito de exposición por los días de duración del aviso.

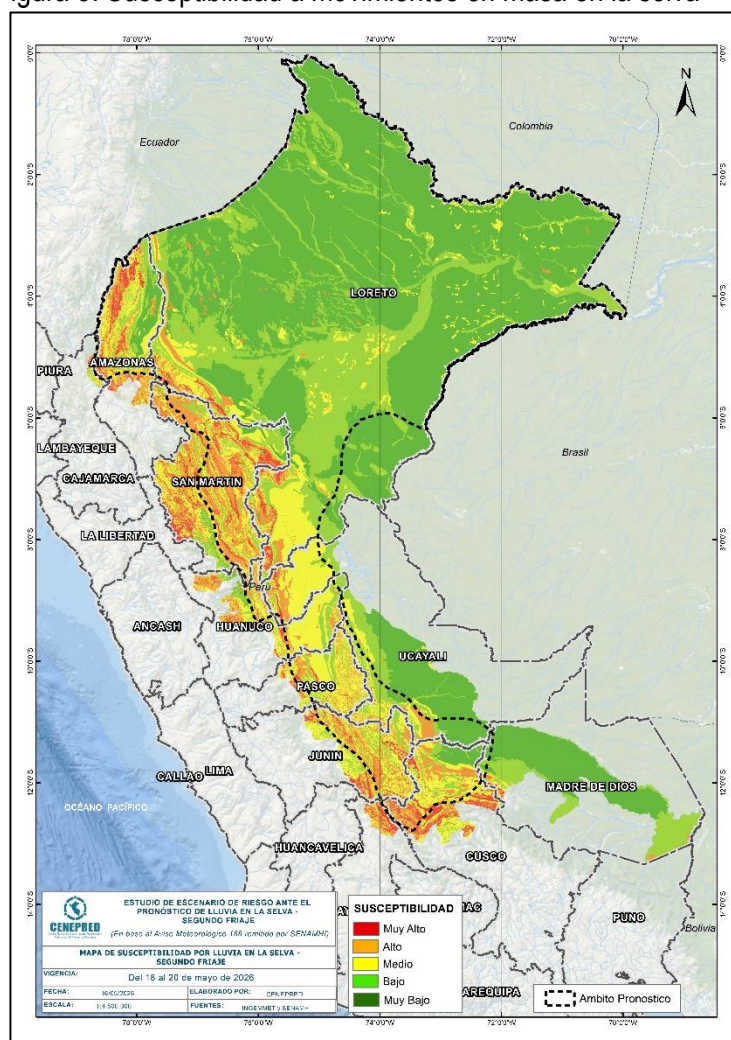
III. ESCENARIO DE RIESGO POR MOVIMIENTOS EN MASA

1 ANÁLISIS DE SUSCEPTIBILIDAD POR MOVIMIENTOS EN MASA

La probabilidad de la ocurrencia de lluvias de fuerte intensidad durante estos días, desencadenarían la posible presencia de deslizamientos, flujos de detritos (huaycos) u otro tipo de movimientos en masa, que traería consigo situaciones de riesgo. No obstante, no se descarta la presencia de estas en las zonas donde se prevé condiciones normales o de déficit de lluvias.

Para la identificación de los ámbitos con mayor propensión a estos eventos se ha tomado como base el Mapa de Susceptibilidad a Movimientos en Masa¹ (INGEMMET).

Figura 5. Susceptibilidad a movimientos en masa en la selva



Fuente: CENEPRED, elaborado con información del INGEMMET y SENAMHI

¹ Cabe destacar que los mapas de susceptibilidad por movimientos en masa, si bien identifican áreas donde se pueden generar potencialmente tales eventos, en ellos no figura la totalidad de zonas a ser afectadas, ni predicen cuando ocurrirán los procesos analizados (Ayala-Carcedo y Olcinas 2002).

2 ANÁLISIS DE EXPOSICIÓN SOCIOECONÓMICA

En el análisis de exposición socioeconómica, se consideró como unidad mínima de análisis el ámbito distrital. Las variables utilizadas son incidencia de pobreza, tasa de analfabetismo y tasa de desnutrición crónica infantil.

El valor de exposición se obtuvo mediante el análisis con sistemas de información geográfica (SIG), con la finalidad de poder representarlo cartográficamente.

Se estimó el valor de importancia (ponderación) de cada uno de los parámetros mediante el Proceso de Análisis Jerárquico (método de Saaty). Posteriormente, se determinó para cada parámetro los respectivos descriptores, representados por sus quintiles, estimándose también para estos una ponderación mediante el mismo método.

Este procedimiento se muestra en la Tabla 1, dando como resultado el valor de exposición para cada distrito.

Tabla 1. Matriz de ponderación utilizada para la evaluación de los niveles de exposición.

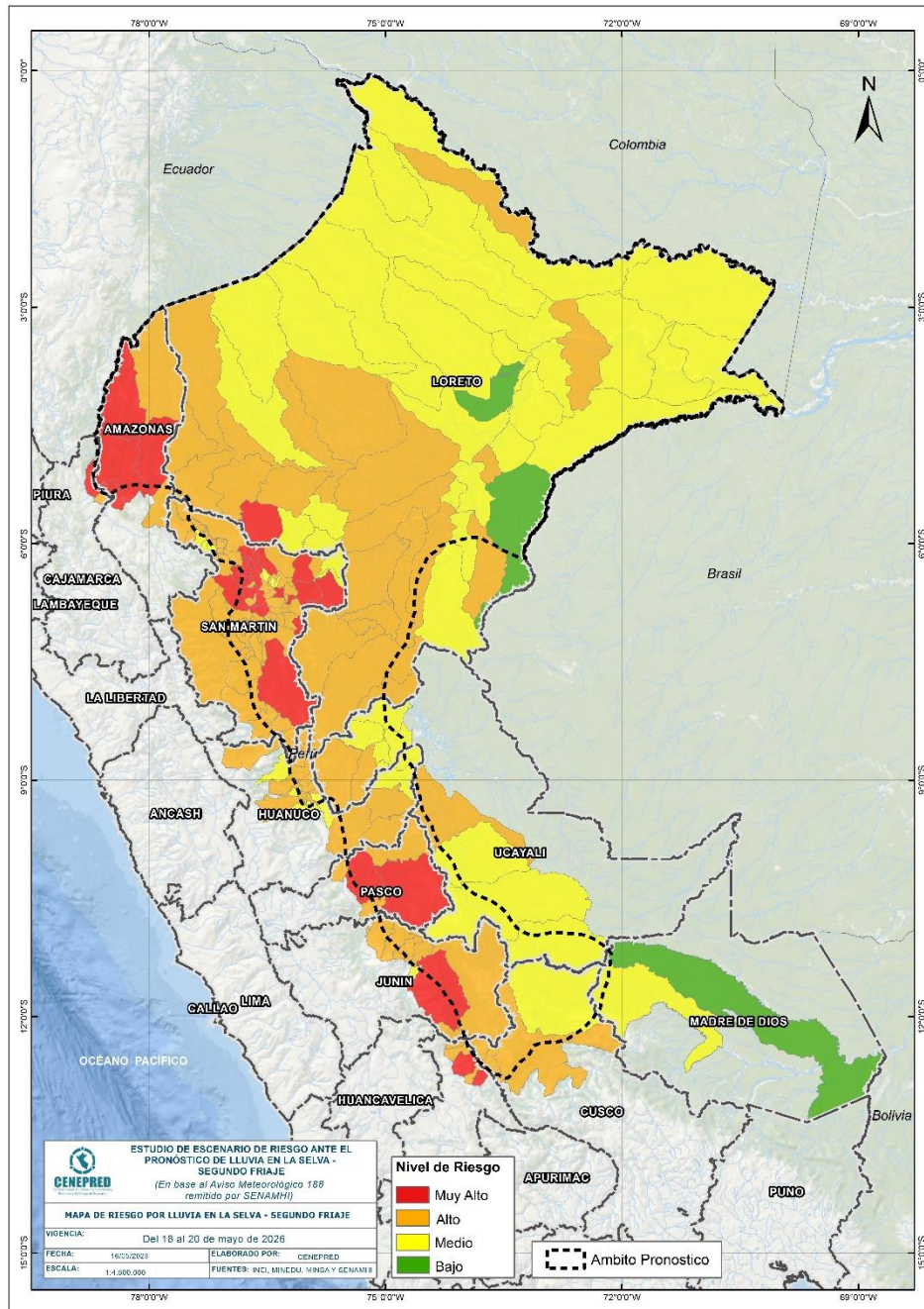
Descriptor	Parámetros de evaluación									Valor de exposición	Rango	Nivel de exposición
	Incidencia de pobreza	Valor	Peso	Tasa de Desnutrición Crónica	Valor	Peso	Tasa de Analfabetismo	Valor	Peso			
D5	Mayor a 63.8%	0.459	0.608	34.2% a 61.7%	0.416	0.272	20.8% a 45.5%	0.432	0.120	0.444	0.262 < R =< 0.444	Muy Alto
D4	50.7% a 63.7%	0.259	0.608	26.0% a 34.1%	0.262	0.272	14.1% a 20.7%	0.283	0.120	0.262	0.153 < R =< 0.262	Alto
D3	36.3% a 50.6%	0.150	0.608	19% a 25.9%	0.161	0.272	9.6% a 14.0%	0.152	0.120	0.153	0.089 < R =< 0.153	Medio
D2	21.8% a 36.2%	0.085	0.608	9.1% a 18.9%	0.099	0.272	5.4% a 9.5%	0.086	0.120	0.089	0.051 < R =< 0.089	Bajo
D1	Menor a 21.8%	0.047	0.608	Menor a 9.1%	0.062	0.272	Menor a 5.4%	0.048	0.120	0.051		

Fuente: CENEPRED, elaborado con información del INEI y el MINSA.

3. ESCENARIO PROBABLE DE RIESGO POR MOVIMIENTOS EN MASA

Una vez identificado los niveles de susceptibilidad a movimientos en masa y los niveles de exposición de la población, a nivel distrital, se procede a la conjunción de ambos factores para el cálculo de la probabilidad del riesgo (Tabla 2).

Figura 6. Escenario de riesgo por movimientos en masa según el pronóstico de lluvia en la selva



Fuente: CENEPRED

Finalmente, se presentan los resultados del escenario de riesgo por movimientos en masa en la Tabla 2.

Tabla 2. Elementos expuestos por departamentos según su nivel de riesgo.

Nivel de Riesgo		Muy Alto					Alto				
		Elementos expuestos									
DEPARTAMENTOS		Cantidad Distritos	Población	Viviendas	Establec. Salud	Instituc. Educativas	Cantidad Distritos	Población	Viviendas	Establec. Salud	Instituc. Educativas
1	AMAZONAS	4	63.444	15.633	108	678	2	19.530	4.683	33	163
2	AYACUCHO	2	22.076	6.521	15	130	3	22.876	6.470	19	117
3	CAJAMARCA	1	18.012	5.197	12	102	1	10.003	2.953	6	62
4	CUSCO	0	0	0	0	0	3	61.867	17.135	51	306
5	HUANUCO	0	0	0	0	0	12	98.554	27.470	72	465
6	JUNIN	1	54.240	13.786	46	465	7	195.720	51.039	128	1.036
7	LORETO	1	13.707	2.921	18	157	21	151.384	32.332	146	1.275
8	PASCO	2	24.379	6.293	54	291	3	35.419	9.250	40	240
9	SAN MARTIN	16	129.855	32.625	84	555	50	461.966	121.017	324	1.376
10	UCAYALI	0	0	0	0	0	3	49.982	12.357	45	250
TOTAL GENERAL		27	325.713	82.976	337	2.378	105	1.107.301	284.706	864	5.290

Fuente: CENEPRED, elaborado con la información del INEI*, MINSA** y MINEDU***

*INEI: Cálculo de población y vivienda según Censos Nacionales 2017: XII de Población y VII de Vivienda

**MINSA: Base RENIPRESS, mayo 2026.

***MINEDU: ESCALE, mayo 2026.

IV. ESCENARIO DE RIESGO POR INUNDACIONES

1 ANÁLISIS DE SUSCEPTIBILIDAD POR INUNDACIONES

La probabilidad de la ocurrencia de lluvias de fuerte intensidad durante estos días, desencadenarían la posible presencia de inundaciones, que traería consigo situaciones de riesgo. No obstante, no se descarta la presencia de estas en las zonas donde se prevé condiciones normales o de déficit de lluvias.

Para la identificación de los ámbitos con mayor propensión a estos eventos se consolidó los mapas de susceptibilidad a inundaciones a nivel regional, elaborado por el INGEMMET, los cuales consideran como factores condicionantes: la geomorfología y la pendiente del terreno.

Los ámbitos de susceptibilidad muy alta y alta se caracterizan principalmente por presentar llanuras aluviales, planicies, altiplanos, terrazas aluviales, entre otros.

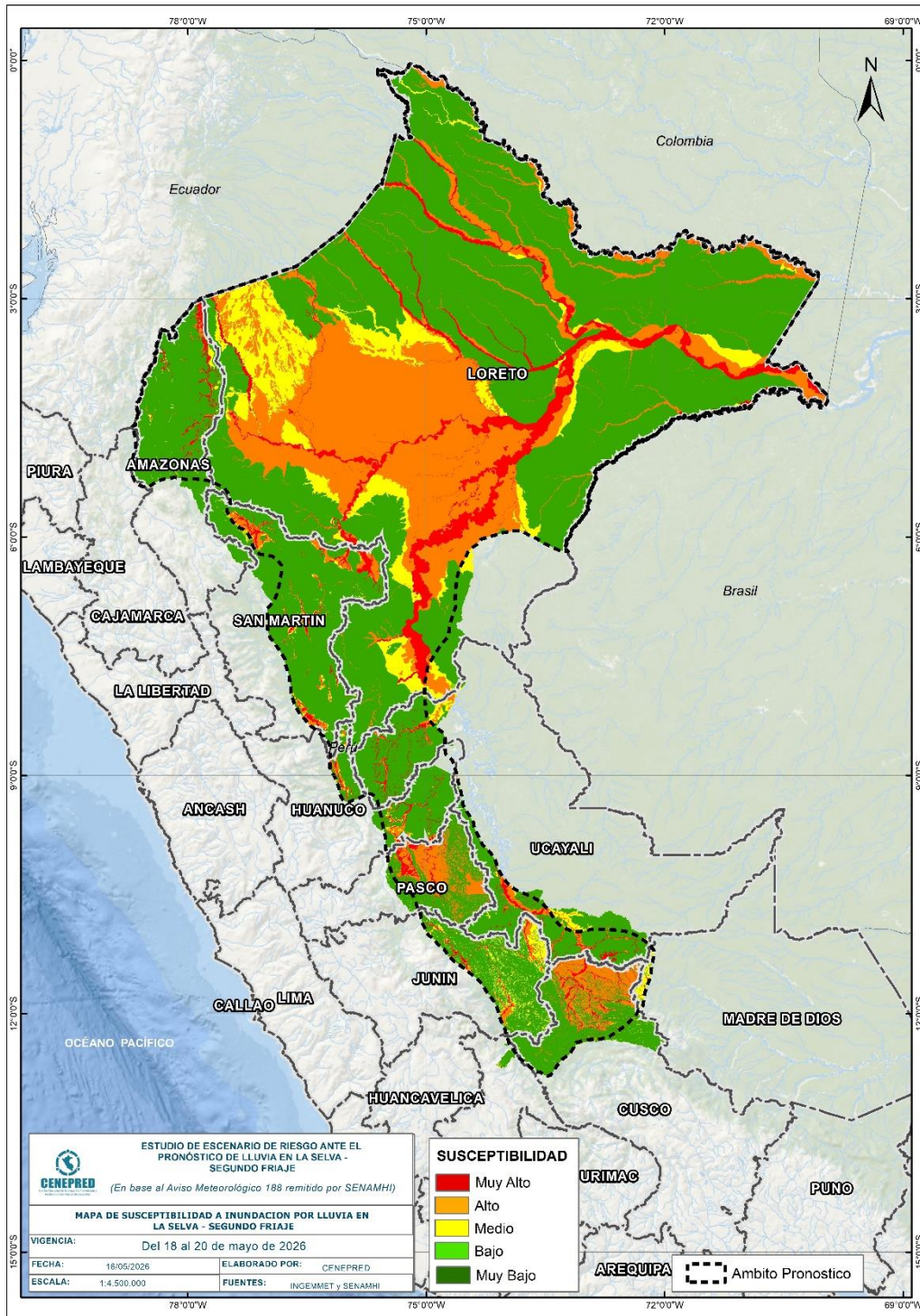
2 ESCENARIO PROBABLE DE RIESGO POR INUNDACIONES

Una vez identificado los niveles de susceptibilidad a inundación en el ámbito de las cuencas afectadas en la Figura 7 se procede a realizar el análisis de los niveles de exposición de la población, vivienda, establecimientos de salud e instituciones educativas a nivel de centros poblados.

De acuerdo al análisis de exposición y considerando el pronóstico se generó la Tabla 3, encontrándose que los departamentos con nivel de riesgo **Muy Alto** comprenden una población expuesta de 336953 habitantes; 94051 viviendas; 303 establecimiento de salud y 2103 instituciones educativas.

Los departamentos con nivel de riesgo **Alto** comprenden una población expuesta de 593381 habitantes; 182806 viviendas; 393 establecimientos de salud y 2266 instituciones educativas.

Figura 7. Escenario de riesgo por inundaciones en el ámbito del pronóstico de lluvia en la selva del 18 al 20 mayo del 2026



Fuente: CENEPRED

Tabla 3. Elementos expuestos por departamentos según su nivel de riesgo por inundación.

Nivel de Riesgo		Muy Alto					Alto				
		Elementos expuestos									
DEPARTAMENTOS		Centros Poblados	Población	Viviendas	Establec. Salud	Instituc. Educativas	Centros Poblados	Población	Viviendas	Establec. Salud	Instituc. Educativas
1	AMAZONAS	97	15886	4453	30	174	45	10962	3023	16	108
2	AYACUCHO	1	11	15	0	0	8	5532	2003	2	14
3	CAJAMARCA	0	0	0	0	0	1	108	38	0	2
4	CUSCO	23	6437	1407	13	48	31	21828	7619	20	75
5	HUANUCO	53	6375	2377	8	49	96	94470	27600	33	142
6	JUNIN	129	92143	25767	38	249	160	78120	25326	42	314
7	LORETO	743	113987	28249	110	1082	627	94562	23720	107	901
8	PASCO	103	11842	3788	36	154	120	25061	9578	31	207
9	SAN MARTIN	217	60105	18713	47	202	310	239374	76671	122	390
10	UCAYALI	110	30167	9282	21	145	79	23364	7228	20	113
TOTAL GENERAL		1476	336953	94051	303	2103	1477	593381	182806	393	2266

Fuente: CENEPRED, elaborado con la información del INEI*, MINSA** y MINEDU***

*INEI: Cálculo de población y vivienda según Censos Nacionales 2017: XII de Población y VII de Vivienda

**MINSA: Base RENIPRESS, mayo 026.

***MINEDU: ESCALE, mayo 2026.